

討21

圧力容器用 Or - Mo 鋼の強化因子と高温焼入れ

川崎製鉄 技術研究所 水島研究室 • 佐藤新吾 寺野征明
榎並祐一 船越督己

1. 緒 言

高温圧力容器用極厚 Or - Mo 鋼に要求される特性のなかに高温強度と耐応力腐食性、耐水素アタツク性がある。鋼種が決定された場合、前者に対してはまず母材強度を高めることが必要となるが、後二者に対しては溶接部の十分な軟化が必要とされている。しかしながら、一般には溶接部の強度は常に母材より高い。極厚材になると母材では焼入硬化組織が得られにくくなり、両者の強度差はますます増大するため、高い母材強度を得たうえで、溶接部も十分軟化できる適正な焼もどし - 溶接後熱処理条件の範囲が小さくなつてくる。

本報ではこのような熱処理上の問題を解決するために、Or - Mo 鋼の強化因子について検討した。その結果、高温焼入れを行えば強度の上昇がもたらされることがわかり、各種 Or - Mo 鋼に適用し、あわせて韌性におよぼす影響も調査した。

2. 母材硬さおよび溶接最高硬さ

0.06C-9Cr-1Mo 鋼の母材硬さ(H_b)および溶接最高硬さ(H_{max})を焼もどしパラメター(T.P.)に対して図1に示す。母材は950°C、3hrのオーステナイト化後、15°C/minの速度で焼入れたもので、フェライト(F) + マルテンサイト(M)組織であるのに對し、H_{max}部はM組織である。H_{max}は常にH_bより高い。

そこで、この差が組織の差のみに起因しているかを調査するため、950°C、3hrのア化後、急冷したM組織の硬さ(H_o)を測定し、図1に併記した。常にH_{max} > H_o > H_bであり、H_{max}とH_bの差を生じた原因是、次の2つに分離できる。第1にH_o-H_bに對応するア域からの冷却速度の差による組織変化に起因するもの(M効果)、第2にH_{max}-H_oに對応するア化条件の違いによる焼もどし軟化抵抗の差に起因するもの(A効果)である。

M効果は単なる焼入性の問題であり、Or - Mo 鋼では焼入冷却速度、合金元素含有量あるいはア粒度などの調整により、とくにF組織を多量に析出させないよう対策がとられている。しかし、A効果は依然として残留するので以下検討した。

3. A効果

A効果とは、以上に述べたようにア化条件の違いにより焼もどし軟化抵抗が変化する現象であり、以下述べるようになれば、焼入硬さは変わなくてもア化温度(T_r)および保持時間(t_r)が増加すると高温、長時間焼もどし後の硬さは増加し、その程度はOr含有量が増加すると増大するという特徴を示す。

3.1. ア化条件依存性とア化パラメター

0.120-9Or-1Mo 鋼を用い、A効果を発生させる1つの因子であるT_rを変え、急冷したM組織の硬さをT.P.に對して図2に示す。焼入れのままも含めたT.P. ≤ 16 × 10³のほとんど軟化しない領域ではT_rの影響は認められないが、実用焼もどし - 溶接後熱処理条件を含むT.P. > 16 × 10³の軟化領域では常に1200°C焼入材の硬さが高い。

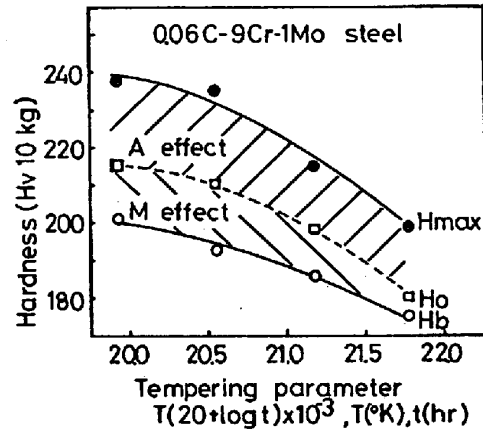


図1 母材硬さおよび溶接最高硬さ

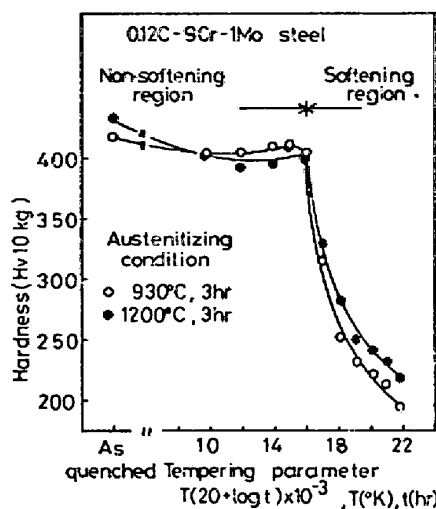


図2 ワ化温度を変えた場合の軟化挙動

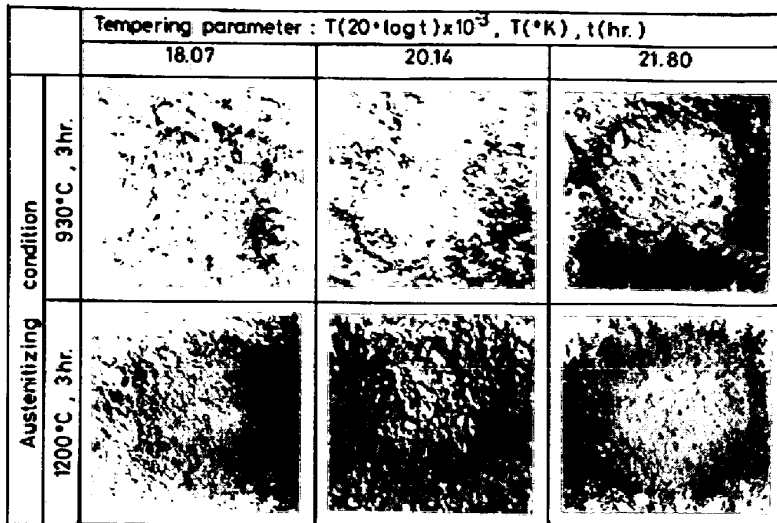


写真 / 炭化物の分布状況

このときの炭化物の分布を観察した結果が写真1であり、1200°C焼入材では粗大な炭化物（主として Cr_{23}C_6 ）が少ない。また軟化領域で一定硬さとなる焼もどし温度(T_T)および保持時間(t_T)を $1/T_T$ と $\log t_T$ の関係で表わし、その勾配からみかけの活性化エネルギー(Q)を求めるとき $Q = 8.5 \pm 1.0 \text{ kJ/mol}$ の値が得られた。この値は Cr 中での C の拡散の Q より明らかに大きく、 Fe あるいは Mo よりも Cr の拡散の Q に近い。

これらのことから、各焼もどし温度での固溶限以上の C は、すべて析出し炭化物の総量は一定であるとすれば、1200°C焼入材では炭化物の粗大化に必要な Cr の拡散距離が増加するため粗大炭化物が減少し、微細な炭化物が増加して Mean free path が減少し硬化すると考えられる。

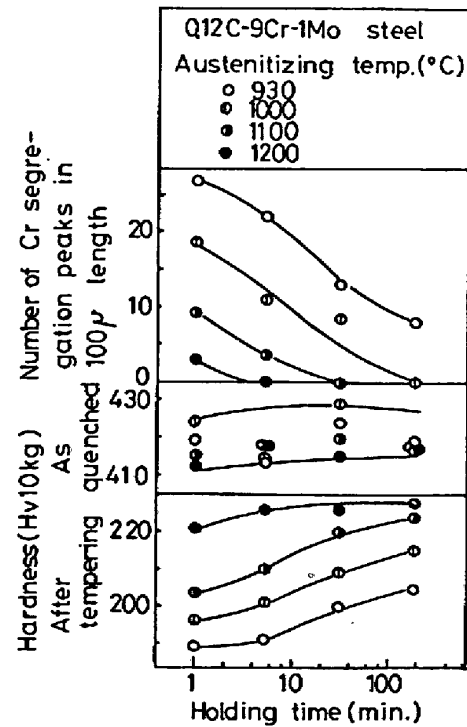
次に T_T および t_T を変え急冷したM組織の焼入硬さと軟化領域の750°C、5hr焼もどし後($T.P. = 21.18 \times 10^3$)の硬さを測定し、同時にワ化状態における Cr の均一性を調査した。図3に示すように、焼入硬さはワ化条件によって一定の傾向を示さないが、焼もどし硬さは前述のように T_T が高く t_T が長いほど高い。 Cr の均一性はワ化前に存在した炭化物（主として Cr_{23}C_6 ）の溶解に関連すると考えられる。この Cr の均一性を表わすパラメーターとしてXMAで Cr の偏析ピーク数(N_{cr})を焼入れのままで測定すると、焼もどし硬さの変化によく対応し、両者の間には図4に示すような関係がある。

このようなことから、 N_{cr} が多いほど炭化物の粗大化に必要な Cr の拡散距離が短くてすむものと考えられる。

この Cr の均一性を律速している条件を調査するため $N_{cr} = 8.5$ となる T_T および t_T を用いてみかけの Q を求めるとき 90.8 kJ/mol が得られた。この値は Cr 中での C 、 Mo あるいは Fe の拡散の Q より大きく、

表 / 硬さから求めたみかけの活性化エネルギー (kJ/mol)

Austenitizing temp. ($^{\circ}\text{C}$, 3hr.holding)	Hardness (Hv10kg)
290	230
930	85.8
1200	71.2
	81.1
	90.8

図3 ワ化条件による Cr の偏析ピーク数および硬さの変化

2) 1)

Crの拡散の Q 、 $40.6 \sim 97 \text{ J}/\text{mol}$ に上限ではあるが近く、したがつて Cr の拡散が律速しているものと考えられる。

Crの拡散が律速であるとすると、その均一化過程は(1)式のように表わせるので、 $D_t = D_0 \exp(-Q/RT) \cdot t$ で均一性が決定される。したがつて、図4の結果もあわせて考えると、軟化領域での硬さは $t \cdot \exp(-Q/RT)$ あるいはその対数をとつた $\log t - 0.434 Q/RT$ なる γ 化パラメーター (P_γ) で整理できることが予想される。

$$c(r, t) - c_0 = \frac{N}{(4\pi D t)^{3/2}} \exp\left(-\frac{r^2}{4Dt}\right) \quad (1)$$

ここで $c(r, t)$: γ 化 t sec 後、Crの偏析中心からの距離 r cm での Cr 濃度 (cm^{-3})

c_0 : マトリックスの Cr 濃度 (cm^{-3})

N : 偏析部の Cr の全量

D : γ 中での Cr の拡散定数 ($\text{cm}^2 \cdot \text{sec}^{-1}$)

その確認のため上記の Q 、 $90.8 \text{ J}/\text{mol}$ を用いると P_γ として(2)式が得られ、焼もどし硬さは図5に示すように T_f および t_f が変化しても P_γ でよく整理できる。 $P_\gamma \leq -1/3$ では P_γ の増加とともに Cr の均一化が進行し焼もどし硬さは上昇するが、 $P_\gamma > -1/3$ となると Cr の均一化はほぼ完全に達成され焼もどし硬さはほとんど変化しない。

$$P_\gamma = \log t_f - \frac{19840}{T_f} \quad (2)$$

ここで t_f : (min), T_f : ($^\circ\text{K}$)

3.2 成分依存性

以上のような Cr の均一性の差により生ずると考えられる A 効果の成分依存性を調査するため各種 Cr-Mo 鋼を用い、A 効果として

$P_\gamma = -1/1.5$ および $-1/4.27$ に相当する 1200°C および 950°C で 90 min の γ 化後、急冷した M 組織の焼もどし後の硬さの差を求めた。図6に示すように A 効果の程度は Mo 含有量には、ほとんど依存せず主として Cr 含有量のみにより決定される。

したがつて、A 効果の発生には炭化物形成元素で、しかも γ 中での拡散が遅いという特性を同時に有する Cr の存在が必要不可欠であるといえる。Cr 含有量が減少すると(1)式の N が減少し、Cr の偏析量が減少するとともにその均一化も早く達成されるため A 効果が減少するものと考えられる。

次に C 含有量を変えた 9 Cr-Mo 鋼を用い、 $P_\gamma = -1/2.97$ 、 $-1/5.01$ に相当する 1100°C および 930°C で 30 min の γ 化後、急冷した M 組織の焼もどし硬さの差を調べた。図7に示すように、

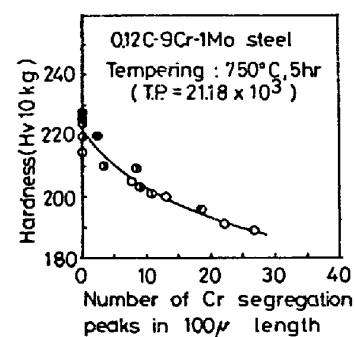


図4 Crの偏析ピーク数と焼もどし硬さの関係
(記号は図3に同じ)

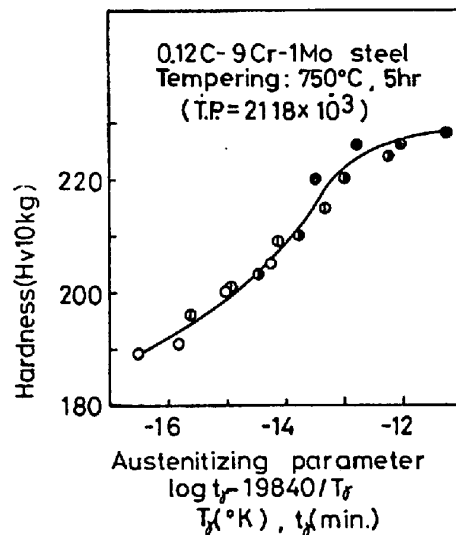


図5 γ 化パラメーターと焼もどし硬さの関係 (記号は図3に同じ)

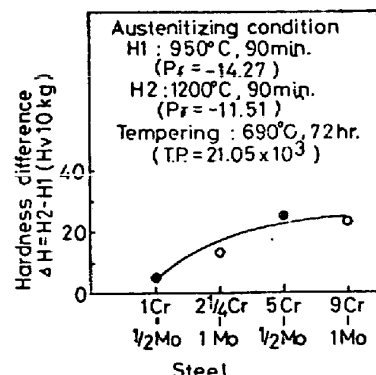


図6 各種 Cr-Mo 鋼における A 効果

A効果はC含有量には依存しない。

4. 高温焼入れの適用

以上の結果から、Cr-Mo鋼の強度上昇に対しては、焼入前のCrの均一化すなわち高温焼入れが有効であることがわかつた。ここでは各種Cr-Mo鋼について焼入冷却速度が200/°Cの場合(肉厚250mm水冷時中心相当)強度と靭性が、高温焼入れ(1200°C, 90min)により、どのように変化するかを通常焼入れ(950°C, 90min)と比較して調査した。結果を図8に示す。

この冷却速度では、通常および高温焼入材ともに9Cr-1Moおよび5Cr-1/2Mo鋼ではM組織、2 1/4Cr-1Moおよび1Cr-1/2Mo鋼ではベイナイト組織となり、高温焼入れによる大きな組織変化は生じなかつた。

高温焼入れの影響は以下のように要約される。

- ① 1Cr-1/2Mo鋼では強度の上昇は小さく、γ粒粗大化による靭性劣化が大きい。
- ② 2 1/4Cr-1Moおよび5Cr-1/2Mo鋼では、主として炭化物の粗大化により生ずると考えられる高温、長時間焼もどし後の靭性劣化が抑制される。9Cr-1Mo鋼では本実験範囲内で、焼もどしが高温、長時間になるほど靭性が向上する。
- ③ したがつて、2 1/4Cr-1Mo鋼以上の高Cr-Mo鋼では、γ粒が粗大化するにもかかわらず高温、長時間焼もどし後の靭性は、通常焼入材と比較して大きくは劣化せずかつ高い強度が得られる。

また、高温焼入れによる焼入性向上効果が大きく生じる冷却速度の場合には、さらに大きな強度上昇効果が期待できる。

5. 結 言

Cr-Mo鋼の焼もどし硬さは、焼入硬さと焼もどし軟化抵抗に依存するものに分離できる。前者は焼入性の問題となる。後者はCr炭化物のγ化時の溶解過程に関連したCrの均一性に支配され、均一化が不完全をほど焼もどし時にCrの拡散距離が少なくてすむため、Cr炭化物の粗大化を生じやすく硬さが低下するものと推定される。

この結果から示唆される高温焼入れによる強度上昇効果を肉厚250mmを想定した各種Cr-Mo鋼で調査した結果、2 1/4Cr-1Mo鋼以上の高Cr-Mo鋼では、高温、長時間焼もどし後において、大きな靭性劣化を生じることなく高い強度が得られた。

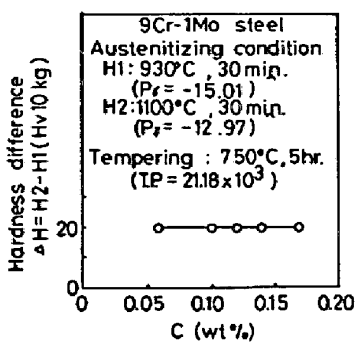


図7 9Cr-1Mo鋼のC含有量とA効果の関係

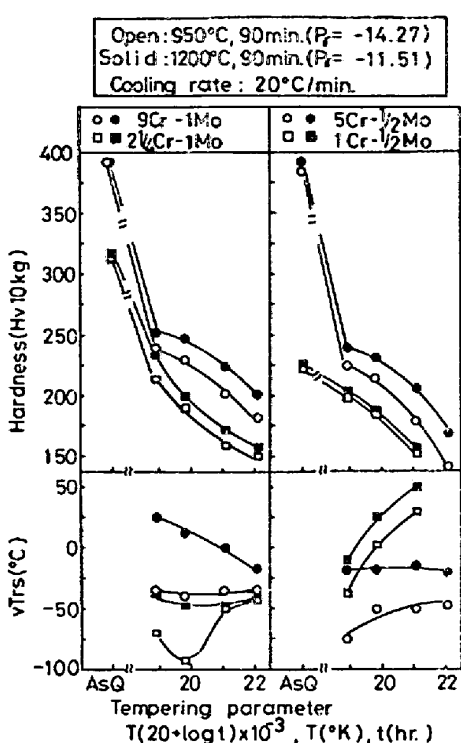


図8 各種Cr-Mo鋼の強度と靭性における高温焼入れの影響

参考文献

- 1) P.L.Gruzin : Dokl. Akad. Nauk SSSR, 94 (1954), p681
- 2) T.Heumann and H.Böhmer : Arch.Eisenhüttenw., 31 (1960), p749